

(84)

O_2-N_2 混合ガスによる低炭素溶融鉄合金の脱炭速度
(溶融鉄合金酸化の動力学 - II)

金属材料技術研究所 ○片瀬嘉郎・工博 郡司好吉・青木憲樹

(緒言) 著者らは先にガス-溶鉄界面へのCの供給速度が非常に大きいため、高炭素溶融鉄合金の O_2-A 混合ガスによる脱炭はガス-溶鉄界面への O_2 の供給速度が反応の律速因子であることを報告したが、今回はガス-溶鉄界面へのCの供給速度が小さいため、低炭素溶融鉄合金の脱炭について2,3実験を行った結果を報告する。

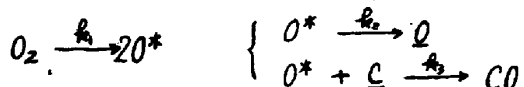
(実験装置および方法) 前報と同じ装置により実験を行った。マグネシア粉末をスタンプした高周波誘導溶解炉(100KC, 25KW)に約0.5%CのFe-C合金3kgを溶解し所定温度(1550, 1600, 1650°C)に保持しながら溶鉄面上5cmに固定した25mmφの石英管より O_2-N_2 混合ガス(全ガス流量: 5000cc/mn, P_{O_2} : 0~0.1atm)を吹付けて脱炭を行った。その間、5mmφ又は7mmφの石英管にて溶鉄試料を採取して分析を行って、Cの時間変化を求めた。なお、測温には熱電対で補正した光高温計を用いた。

(実験結果および考察) 溶鉄中のC濃度が約0.1%以上では脱炭速度がガス-溶鉄界面への O_2 の供給速度に比例するることは前報と同様に確認された。しかし、 $C < 0.1\%$ になると、Fig.1に示すようだ、脱炭速度はC濃度にも依存してCの時間変化に直線関係が成立しなくなり、更に P_{O_2} に依存し界面への O_2

の供給速度が律速因子の一つであることは図から明らかであり、従来考へられていた低炭素領域ではCの移動速度のみが脱炭速度を律するという見解とは多少異なる結果となった。Fig.2はこの領域における脱炭速度と温度の関係を示したもので、温度上昇によりその速度は増加していく。

又脱炭反応進行途上におけるCとOの関係を測定した結果、 $[C] \times [O]$ の値は平衡値以下であった。溶鉄内部において気泡発生に必要な界面エネルギーおよび過飽和度の観点からして、低炭素領域であっても脱炭反応の界面ガス-溶鉄界面にどうなり得ると推測するところが出来た。

低炭素領域における脱炭は、界面において



なる不可逆反応により進行すると考へると、脱炭速度は $k_3 C_{O^*} C_O$ となりCのモル流束: $N_C (= k_2 (C_{O^*} - C_O))$ に等しいと考へられる。又 C_{O^*}, C_O は O_2 のモル流束: $N_{O_2} (= k_1 (C_{O^*} - C_O))$ と N_C に依存する値と考へられることで脱炭速度は P_{O_2} と C濃度に依存するとして考へられる。

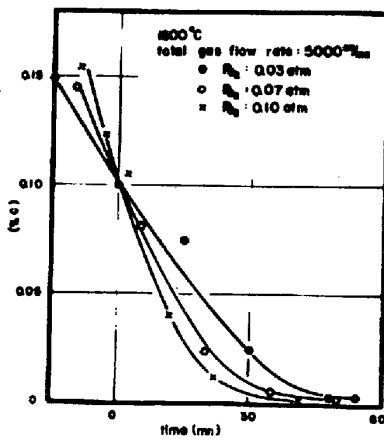


Fig. 1 Effect of pressure on the decarburization in O_2-N_2 at 1600°C

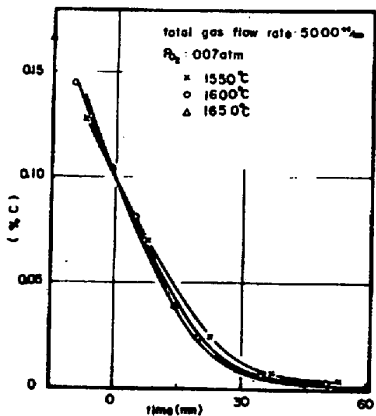


Fig. 2 Effect of temperature on the decarburization in O_2-N_2 at $P_{O_2} = 0.07$ atm